



さて、 $\lambda_2$ については、

0.07~0.10の値(平均0.08)がえられ、 $\lambda_3$ と同様の相関をとってみると、 $\lambda_3$ との相関はなく、平均雨量、3mm以上の平均雨量との相関が考えられた(相関係数0.6)。

5. 浸透量 $\lambda_k$ の推定

山地の浸透試験の結果<sup>2)</sup>では、200mm<sup>2</sup>〜数<sup>3</sup>まで浸透量は大きくバ

ラツキ、さらに小流域では、雨量損失カーブより浸透能を推定することも困難であるので、中間流出期の表層付近の浸透の挙動として、(3)式のモデルをもとにして推定を試みた。すなわち、(3)式は、 $Q_2 = A\lambda_k$ で $Q_2$ は急減すると考えられ、急減率は、 $Q_2 = 2\% \sim 1\%$ が99く(これは片対数紙上のハイドログラフの変曲点附近となる)、これをもとに、 $Q = A\lambda_k$ より $\lambda_k$ を算定すると0.03~0.02mm<sup>2</sup>をうる。

6. 考察

中間流出の急減は、指数関数的に減少することはたしかめられたが、雨量との正の相関、 $\lambda_k$ がきわめて小さいことなどから、表層流的な挙動が示唆されており、参考までに、推定された $\lambda_k$ をもとに、有初表層厚 $YD = (e^{\lambda_2 t} - 1)\lambda_k / \lambda_2$  ( $t$ : 中間流出期時間)をもちいて $YD$ を算定すると10mm前後の値となり、表層の浅い部分が、直接的な流出に参与しているようである。すなわち、小流域での流出係数(10<sup>-2</sup>オーダーが99)を考えた場合、大部分が地下へ浸透し、表層の浅いところには貯留された部分(あるいは、一時的な表面貯留)が直接的な流出として出てくると推論できるであろう。さらに、由良川における $\lambda_2$ 、 $\lambda_3$ と比較するとかなり大きな値となっており、流域面積の大小による差なのか、河道貯留の影響か、流域固有の値なのかなど検討を加えていかねばならない。また、(3)式より $\lambda_k$ を求めることが精度上可能なのかなど今後流域面積などの条件のうち資料で検討したい。しかし、現在のところ、(3)式のモデルで一応の現象の説明が可能であることはいえるであろう。

なお、計算は、九州大学大型電子計算機FACOM 230-60によった。

参考文献

- 1) 石原(肇), 石原(安), 高樺, 頼: 由良川の出水特性に関する研究: 京大防災研年報才5号
- 2) 佐藤, 村上, 村井, 関川: 新しい型の山地浸透計による測定成績(才2報): 林業試験場研報才99号

図-2

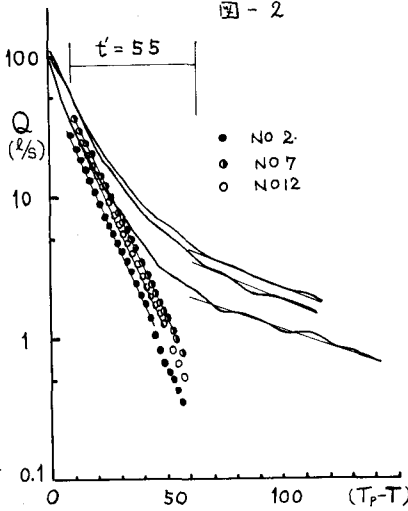


図-3

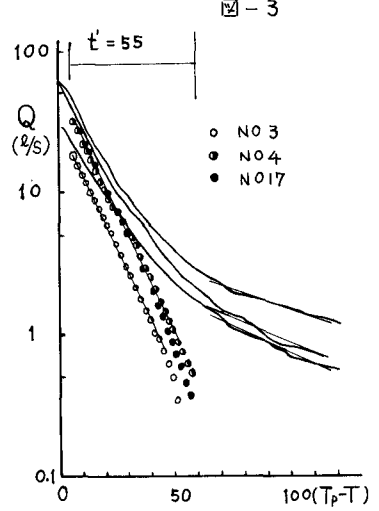


表-1  $\lambda_2, \lambda_3$ の算定結果

NO	DATE	$\lambda_2$	$\lambda_3$	MAXIMUM DISCHARGE
1	1938-6	0.073	0.016	63.2(%)
2	1938-9	0.085	0.013	109.3
3	1941-5	0.079	0.018	30.2
4	1941-5	0.076	0.016	58.6
5	1942-10	0.070	0.010	41.8
6	1943-9	0.068	0.010	238.8
7	1945-9	0.079	0.015	104.6
8	1945-10	0.072	0.012	912.9
9	1946-7	0.077	0.014	307.9
10	1946-10	0.084	0.012	65.4
11	1948-9	0.084	0.020	112.9
12	1949-7	0.082	0.016	123.6
13	1949-7	0.104	0.017	281.9
14	1950-3	0.072	0.009	44.5
15	1953-5	0.088	0.020	169.7
16	1953-9	0.096	0.015	199.1
17	1954-4	0.083	0.013	50.7
18	1955-4	0.075	0.013	138.9
19	1956-9	0.089	0.017	111.7